

防衛大学校 土木工学科教室 正員 重村利幸

1. まえがき：湾口狭窄部特性に関する研究は M. P. O'Brien, J. W. Johnson, P. Bruun & F. Gerritsen などによって盛んに行なわれており、狭窄部断面積, A とタイダルアリズム, P との関係は一般に $A = C \cdot P^m$ なる指數関数の関係が存することが報告されている。最近, CERC の J. T. Jarrett¹⁾ は米国海岸に存する 108 個の湾について A～P 関係を再検討し、上式中の C, および m が一定の常数ではなく、湾の存する場所および湾口部の Jetty 等による改変度によって異なることを明らかにした。ただし、これらの研究は主として砂浜海岸上に存する湾を研究対象としたものである。

著者は、必ずしも砂浜海岸上に存しない一般の湾についても上記関係式が成り立つのではないかと考え、我が国の太平洋岸および日本海岸(青森県～山口県)に存する湾について調べてみた。その結果、一般的の湾の場合にも $A = C \cdot P^m$ なる関係が認められ、更に同関係式は適当なバラメータ導入すれば、より信頼度の高い関係式となることを示した。

本報告は九州西岸域における湾の湾口狭窄部特性を用いた研究結果である。

2. 基礎データー：研究の対象は福岡県・洞海湾から鹿児島県の間の津Kまで計 75 個の湾を選んだ。湾口狭窄部特性について、(1). 断面積, A (km^2) の他 (2). 断面幅, B (km) および (3). 断面の方向, θ_{TS} (度) を考慮することとした。図-1 は、これら 3 つの特性値を示す。これら各特性値は水路部航行の海図から測定した。また、台湾近傍の波浪データーは第 4 次港湾建設局および水産省漁港部航行の各種資料から求めた。

3. 窪窄部特性與外力関連項との関係：窪窄部特性 K 影響を及ぼすと考えられる外力関連項として次の 4 つの物理量を考慮した。

- 1). タイダルアリズム, P (km^3)
 - 2). 窪窄部にかけた潮汐流の最大流速, V_{\max} (m/sec)
 - 3). 窪窄部に侵入する一浪費エネルギー, E_{puv} (kg/m)
 - 4). 同侵入波エネルギーの方向, θ_{puv} (度)
- これら物理量と各特性値との相関関係を調べた結果、次の諸表が明らかになった。
- 1). $\log(A)$ および $\log(B)$ は窪口部・外洋に対する露出度にあまり関係せず $\log(P)$ とのより高い相関性をもつ。
 - 2). 窪口部が外洋に露出していする湾に対しては、 θ_{TS} は θ_{puv} と極めて高い相関性を有する。

図-2 および図-3 は、それを A～P および B～P の関係を両対数紙上にプロットしたものである。また、

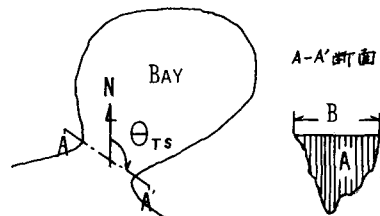


図-1. 湾口狭窄部特性

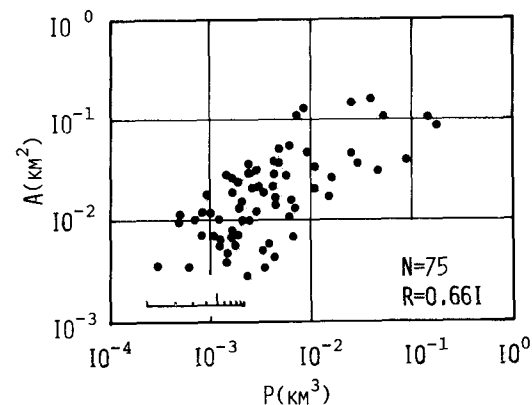


図-2. 断面積, A とタイダルアリズム, P との関係

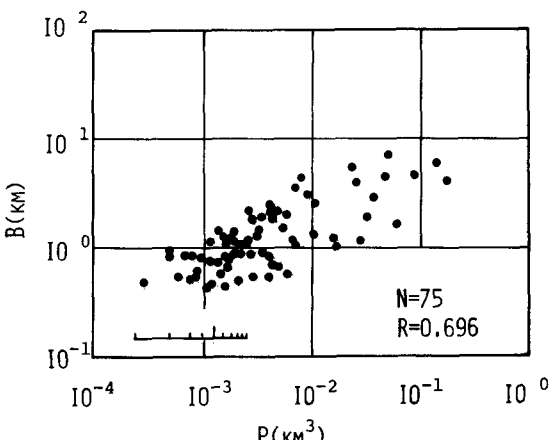


図-3. 断面幅, B とタイダルアリズム, P との関係

図-4は θ_{TS} と θ_{PWV} との関係をアロットしたものである。図-1とおなじく図-3から明らかなように、AとPおよびBとPの間に指數関数の関係式を得ることは難しい。ただし、 θ_{TS} と θ_{PWV} の間に極めて満足すべき関数関係が得られたと考えられる。

4. 考察：前節においてAとPおよびBとPの間に、それされ、 $A = C_A \cdot P^{\alpha A}$, $B = C_B \cdot P^{\alpha B}$ なる関係を見出したことには難しいことを述べた。この原因にはタイタルアリズム以外の外力関連項、湾周辺の地質条件ならびに地形特徴の影響の評価がなされなかったことに起因する。ではなぜかと考られる。そこで、ここでは湾周辺の地形特性の影響を考慮に入れ、AとPおよびBとPの関係を再検討してみる。即ち、

Class	Throat area, A	R	Throat width, B	R
I	$A = 0.327 P^{0.776}$	0.902	$B = 6.611 P^{0.436}$	0.847
II	$A = 0.681 P^{0.681}$	0.841	$B = 14.759 P^{0.437}$	0.798
III	$A = 2.729 P^{0.781}$	0.855	$B = 30.846 P^{0.509}$	0.936

表-2. 地形パラメーターによる分類された灰湾の解析結果

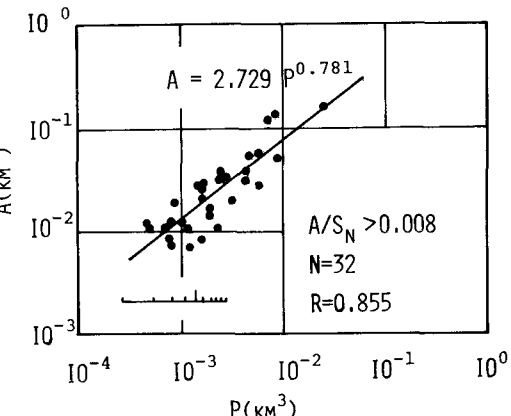


図-4. θ_{TS} と θ_{PWV} との関係

Class	Throat area, A range of parameter	N	Throat width, B Range of parameter	N
I	$r_6 < 0.003$	24	$r_5 < 0.07$	28
II	$0.003 \leq r_6 < 0.008$	19	$0.07 \leq r_5 < 0.15$	19
III	$r_6 \geq 0.008$	32	$r_5 \geq 0.15$	28

表-1. 地形パラメーターによる湾の分類

表-2は上記の各グループに分類された灰湾についての解析結果を示す。同様から明らかな通り、分類後の湾に關しては、AとPおよびBとPの間にやはりパラツキと指數関数の関係が存在することが判る。なお、図-5、および図-6は表-2に示したClass IIIのデータをアロットしたものである。これまでばかりのパラツキ量は認められますが、これらのパラツキはP以外の外力関連項ならびに地質条件等の評価の欠陥によるものと考られる。今後、これら諸要因の影響を入れて更に研究を進めてゆきたい。

文献 1) James T. Jarrett, "TIDAL PRISM-INLET AREA RELATIONSHIPS," GTR REPORT 3, U.S. CORPS OF ENGINEERS, p.32, Feb., 1976.

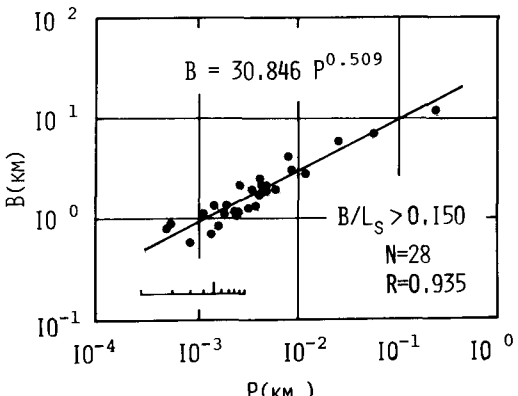


図-5. 断面積, A とタイタルアリズム, P の関係 (Class III)

図-5. 断面積, A とタイタルアリズム, P の関係 (Class III)